

УДК 541.123.5

ДИАГОНАЛЬНОЕ СЕЧЕНИЕ PbTe-Cu₂S ТРОЙНОЙ ВЗАИМНОЙ СИСТЕМЫ PbTe + Cu₂S ⇌ PbS + Cu₂Te

© 1994 г. В. И. Грыцив*, П. Ф. Венгель**, З. Ф. Томашик**, В. Н. Томашик**

* Житомирский государственный педагогический институт им. И.Я. Франко

** Институт физики полупроводников Академии наук Украины

Поступила в редакцию 19.08.93 г.

Физико-химическое взаимодействие в системе PbTe-Cu₂Te, являющейся диагональным сечением тройной взаимной системы PbTe + Cu₂S ⇌ PbS + Cu₂Te, не исследовано [1]. В литературе имеются сведения о диаграммах состояния квазибинарных систем, ограничивающих квадрат этой тройной взаимной системы. В системах PbTe-PbS и Cu₂Te-Cu₂S при высоких температурах образуются непрерывные ряды твердых растворов, а их диаграммы состояния принадлежат к типу III по классификации Розебома с минимумом соответственно при 65 мол. % PbTe, 1144 К [1] и 54 мол. % Cu₂S, 1218 К [2]. Системы PbTe-Cu₂Te и PbS-Cu₂S относятся к эвтектическому типу с эвтектиками соответственно при 38.8 мол. % PbTe, 922 К и 37.5 мол. % PbS, 798 К [1].

В настоящей работе с помощью дифференциального-термического (ДТА), рентгенофазового (РФА) и микроструктурного анализов (МСА) изучен характер взаимодействия PbTe и Cu₂S, образующих одно из диагональных сечений тройной взаимной системы PbTe + Cu₂S ⇌ PbS + Cu₂Te.

Для синтеза исходных бинарных компонентов использовали элементарные вещества квалификации о. с. ч., взятые в стехиометрических соотношениях. Сплавление PbTe проводили при 1240 К

в течение 24 ч с последующим охлаждением в режиме выключенной печи. Образцы сплавляли в вакуумированных до 0.13 Па графитизированных кварцевых ампулах при температурах приблизительно на 70 - 100 К выше соответствующих температур ликвидуса, выдерживали 20 ч и охлаждали со скоростью 60 - 100 К/мин до температуры солидуса, а затем в режиме выключенной печи до комнатной температуры. Для установления режимов синтеза предварительно выборочно записывали кривые охлаждения.

Полученные образцы отжигали 500 - 600 ч при температуре на 50 К ниже температуры солидуса. Контроль степени гомогенизации проводили выборочной проверкой микроструктуры. Равновесие считали достигнутым, если микроструктура отожженного в течение 400 ч сплава не изменилась после дополнительного 400-часового отжига.

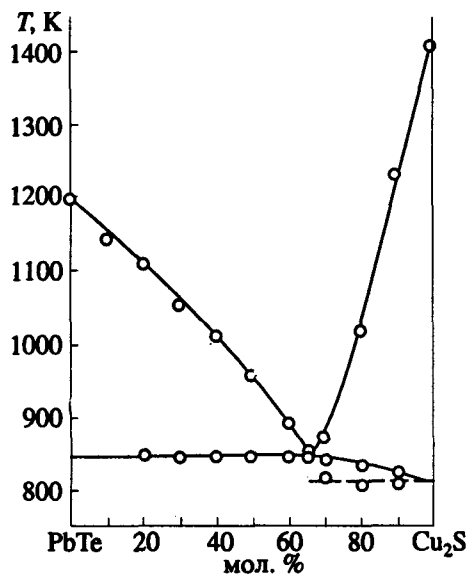
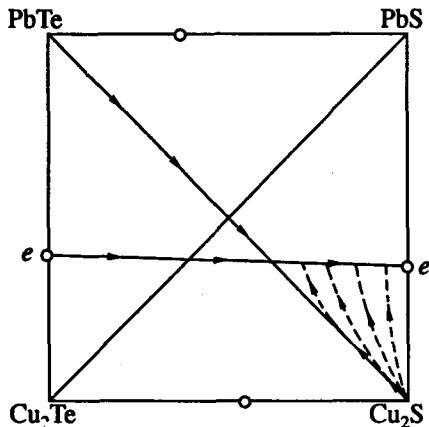
С помощью термодинамических расчетов предварительно оценивали сдвиг равновесия в системе PbTe + Cu₂S ⇌ PbS + Cu₂Te. Необходимые для расчетов значения термодинамических параметров участвующих в обменном взаимодействии веществ приведены в табл. 1. Поскольку в литературе отсутствуют надежные значения энталпий полиморфных превращений Cu₂S и

Таблица 1. Термодинамические свойства сульфидов и теллуридов меди и свинца

Соединение	PbTe	Cu ₂ S	PbS	Cu ₂ Te
ΔH ₂₉₈ ⁰ , кДж/моль	-68.62 [3]	-79.50 [4]	-103.01 [5]	-38.07 [6]
S ₂₉₈ ⁰ , Дж моль ⁻¹ К ⁻¹	110.04 [3]	120.90 [4]	91.21 [7]	166.52 [8]
(C _p , Дж моль ⁻¹ К ⁻¹) a + b T	48.13 + 0.098T [4]	52.84 + 0.079T [4]	44.35 + 0.010T [4]	61.40 + 0.053T [4]
T _{пл} , К	1197 [4]	1403 [6]	1386 [7]	1398 [4]
ΔH _{пл} , кДж/моль	39.33 [9]	11.30 [6]	36.40 [7]	24.7 [4]

Таблица 2. Температурная зависимость изобарно-изотермического потенциала и константы равновесия обменной реакции PbTe + Cu₂S ⇌ PbS + Cu₂Te

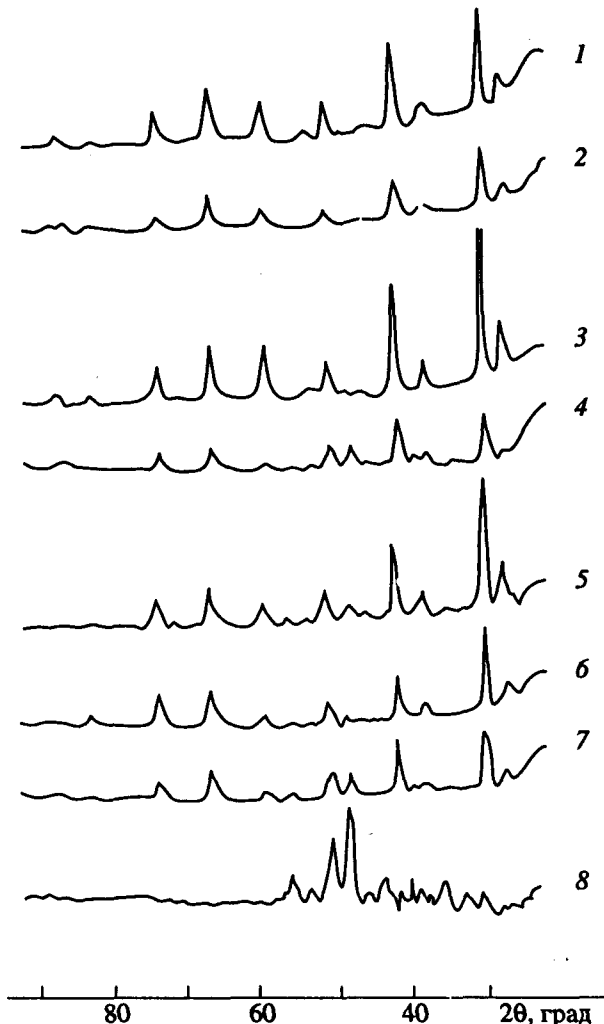
T, К	298	500	700	900	1100	1300	1500	1600
-ΔG _T , кДж	0.94	6.1	10.61	14.37	17.34	16.08	14.85	15.76
K _p	1.46	4.35	6.17	6.82	6.69	4.44	3.29	3.25

Рис. 1. Политермическое сечение системы PbTe-Cu₂S.Рис. 2. Схема первичной кристаллизации твердых растворов PbS_xTe_{1-x} и Cu₂S_xTe_{1-x} по сечению PbTe-Cu₂S.

Cu₂Te, расчеты изобарно-изотермического потенциала обменного взаимодействия (ΔG_T) выполняли без их учета в предположении, что это не должно существенно сказаться на полученных результатах.

Как следует из табл. 2, ΔG_T обменной реакции $PbTe + Cu_2S \rightleftharpoons PbS + Cu_2Te$ в области 300 - 1600 К имеет небольшое отрицательное значение, свидетельствуя о том, что указанная реакция в приведенном температурном интервале является практически равновесной. Это подтверждают и значения константы равновесия (K_p), рассчитанные из ΔG_T .

ДТА отожженных сплавов проводили на установке, состоящей из двух спаренных потенциометров КСП-4. Навески массой 10 г нагревали со скоростью 3 - 8 К/мин, температуру измеряли хромель-алюмелевыми термопарами, проградуи-

Рис. 3. Рентгенограммы сплавов системы PbTe-Cu₂S, содержащих 0(1), 10(2), 20(3), 60(4), 65(5), 70(6), 80(7), 100 мол. % Cu₂S (8).

рованными по температуре плавления NaCl и кипения дистиллированной воды при нормальном давлении; точность определения термических эффектов составляла ± 3 К.

Для построения политермического сечения PbTe-Cu₂S записывали кривые нагревания и охлаждения. Следует отметить, что термические эффекты на кривых нагревания отожженных сплавов в пределах ошибки измерения совпадают с термическими эффектами на кривых повторных нагреваний. Это свидетельствует о том, что в условиях охлаждения в установке для ДТА со скоростью 6 К/мин образцы близки к равновесному состоянию и не закаливаются. Однако микроструктура таких литьих сплавов существенно отличается от микроструктуры отожженных образцов. На кривых охлаждения образцов системы PbTe-Cu₂S наблюдался эффект переохлаждения,

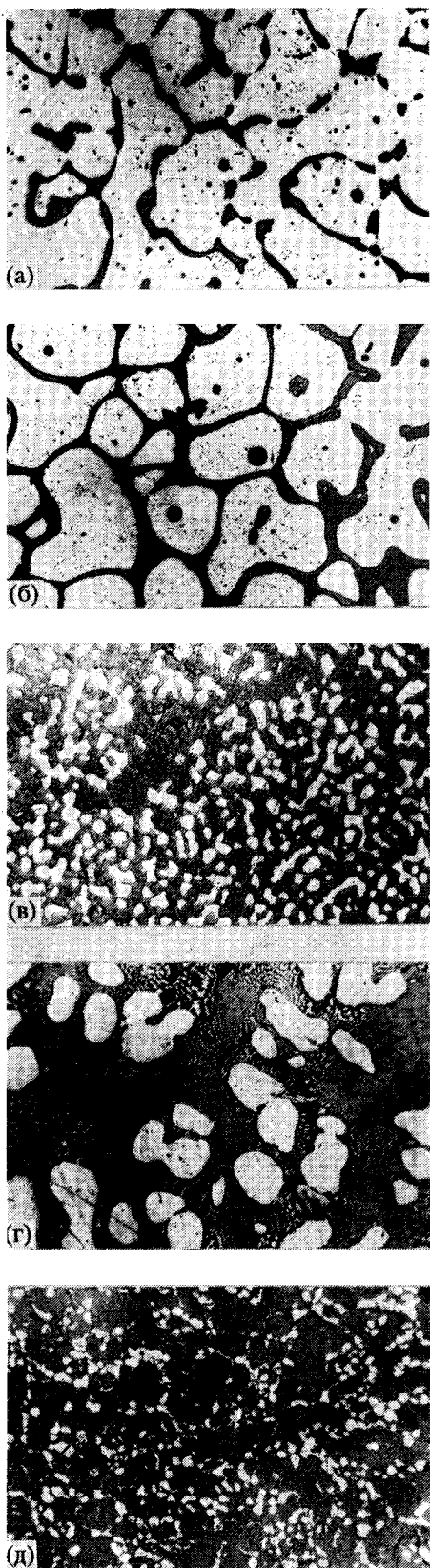


Рис. 4. Микрофотографии отожженных сплавов системы PbTe–Cu₂S, содержащих 10 (а), 20 (б), 65 (в), 70 (г), 80 мол. % Cu₂S (д); ×50.

достигающий в некоторых случаях 20 К, поэтому при построении линии ликвидуса политермического сечения кривые охлаждения не учитывали. Другие термические эффекты на кривых нагревания и охлаждения в пределах ошибки эксперимента в большинстве случаев совпадали.

Фазовый состав отожженных сплавов исследовали на рентгеновской установке ДРОН-2.0 в медном излучении без фильтра. Для снятия механических напряжений кристаллической решетки порошки отжигали в вакууме при 390 К в течение 150 ч.

Микроструктуру исследовали в белом свете на металлическом микроскопе МИМ-6 при 50-кратном увеличении. Поскольку отдельные фазовые поля были контрастными, травление не применяли. Микротвердость измеряли на микротвердомере ПМТ-3 при нагрузке в 20 г. Перед началом измерений шлифы отжигали в течение 50 ч при 400 К для устранения механических повреждений приповерхностного слоя.

Политермическое сечение PbTe–Cu₂S представлено на рис. 1. Со стороны PbTe первично кристаллизуются твердые растворы PbS_xTe_{1-x}, причем кристаллизация протекает непосредственно по указанному сечению, о чем свидетельствует постоянство эвтектической температуры. Со стороны Cu₂S первичная кристаллизация твердых растворов Cu₂S_xTe_{1-x} протекает так, как это показано на рис. 2: чем ближе к Cu₂S находится конфигуративная точка, тем больше отклоняется процесс первичной кристаллизации от диагонального сечения. После достижения эвтектической линии начинается вторичное выделение эвтектической составляющей, заканчивающееся в точке кристаллизации бинарной эвтектики в системе PbTe–Cu₂S при 798 К. Такой характер первичной и вторичной кристаллизации со стороны Cu₂S подтверждает результаты термодинамических расчетов и свидетельствует о незначительном сдвиге химического равновесия в сторону образования PbS и Cu₂Te. Эвтектическая точка находится при 844 К и 67.5 мол. % Cu₂S.

На рентгенограммах отожженных в течение 600 ч при 1050 К образцов (рис. 3) видно, что при увеличении содержания Cu₂S рефлексы исходных компонентов сохраняются. Следует отметить, что чувствительность РФА по отношению к рефлексам халькогенидов меди на фоне рефлексов PbTe очень низка. Отсутствие рефлексов, принадлежащих PbS и Cu₂Te, подтверждает тот факт, что образующиеся в результате обменного взаимодействия указанные соединения растворяются соответственно в PbTe и Cu₂S, образуя твердые растворы PbS_xTe_{1-x} и Cu₂S_xTe_{1-x}. Об этом же свидетельствует небольшое смещение рефлексов, принадлежащих Cu₂S, при его содержании в образцах более 50 мол. %. На образование соответствующих растворов указывают и результаты

Таблица 3. Микротвердость сплавов системы PbTe–Cu₂S

Cu ₂ S, мол. %	$H \times 10^{-8}$, Па	
	PbS _x Te _{1-x} (светлая фаза)	Cu ₂ S _x Te _{1-x} (темная фаза)
10	73.5	73.5
20	70.6	63.7
30	64.7	—
40	71.6	—
50	70.6	—
60	64.7	—
65	63.7	62.8
70	68.6	—
80	66.7	58.8

измерения микротвердости, представленные в табл. 3.

На микрофотографиях (рис. 4) сплавов, обогащенных PbTe, наблюдаются две фазы: светлая – твердый раствор на основе халькогенидов свинца и темная – твердый раствор на основе халькогенидов меди.

Таким образом, полтермическое сечение PbTe–Cu₂S можно разделить на две части: со стороны PbTe система ведет себя как квазибинарная, а со стороны Cu₂S, из-за неравновесной первичной кристаллизации, ее нельзя считать квазибинарной, что подтверждается протеканием вторичной кристаллизации в некотором интервале температур, нижний предел которого стремится к эвтектической температуре квазибинарной системы PbTe–Cu₂S.

ВЫВОДЫ

С помощью физико-химического анализа и термодинамических расчетов установлено, что обменные взаимодействия в тройной взаимной

системе PbTe + Cu₂S ⇌ PbS + Cu₂Te характеризуются незначительным сдвигом равновесия в сторону образования PbS и Cu₂Te. В этой системе первично кристаллизуются твердые растворы PbS_xTe_{1-x} и Cu₂S_xTe_{1-x}, причем по полтермическому сечению PbTe–Cu₂S кристаллизация PbS_xTe_{1-x} протекает в равновесных условиях, а Cu₂S_xTe_{1-x} – в неравновесных. Эвтектическая точка на диагональном сечении PbTe–Cu₂S отвечает 844 К и 67.5 мол. % Cu₂S.

СПИСОК ЛИТЕРАТУРЫ

1. Шелимова Л.Е., Томашик В.Н., Грьцив В.И. Диаграммы состояния в полупроводниковом материаловедении (системы на основе халькогенидов Si, Ge, Sn, Pb). М.: Наука, 1991. 368 с.
2. Глазов В.М., Бурханов А.С., Салеева А.М. Фазовые равновесия в квазибинарных системах, образованных халькогенидами меди // Журн. физ. химии. 1975. Т. 49. № 7. С. 1658 - 1671.
3. Герасимов Я.И., Крестовников А.Н., Горбов С.И. Термодинамика в цветной металлургии. М.: Металлургия, 1974. Т. 6. 312 с.
4. Mills K.C. Thermodynamic Data for Inorganic Sulfides, Selenides and Tellurides. London. Butterworth, 1974. 845 с.
5. Shamsuddin. Thermodynamic Studies on Lead Sulfide // Met. Trans. B. 1977. V. 88. № 2. P. 349 - 352.
6. Физико-химические свойства полупроводниковых веществ. Справочник. М.: Наука, 1979.
7. Абрикосов Н.Х., Шелимова Л.Е. Полупроводниковые материалы на основе соединений A^{IV}B^{VI}. М.: Наука, 1975. 196 с.
8. Чижиков Д.М., Счастливый В.П. Теллур и теллуриды. М.: Наука, 1966.
9. Петухов А.П., Корнев Б.Ф., Головченко В.В. Теплоты плавления PbSe, PbTe, SnSe и SnTe // Изв. АН СССР. Неорган. материалы. 1980. Т. 16. № 2. С. 358 - 359.